

FI 193 – Teoria Quântica de Sistemas de Muitos Corpos

2º Semestre de 2023

05/10/2023

Aula 17

Aula passada

$$iG_{12} = \frac{\langle T [\tilde{U} (+\infty, -\infty) \psi_{I1} \psi_{I2}^\dagger] \rangle_0}{\langle \tilde{U} (+\infty, -\infty) \rangle_0}$$

$$\langle T [\tilde{U} (+\infty, -\infty) \psi_{I1} \psi_{I2}^\dagger] \rangle_0 = \sum_{n=0}^{\infty} \frac{(-i)^n}{n!} \int_{-\infty}^{+\infty} dt_1 \dots dt_n \langle T [H_{1I}(t_1) \dots H_{1I}(t_n) \psi_{I1} \psi_{I2}^\dagger] \rangle_0$$

$$\langle T [\tilde{U} (+\infty, -\infty)] \rangle_0 = \sum_{n=0}^{\infty} \frac{(-i)^n}{n!} \int_{-\infty}^{+\infty} dt_1 \dots dt_n \langle T [H_{1I}(t_1) \dots H_{1I}(t_n)] \rangle_0$$

Teorema de Wick

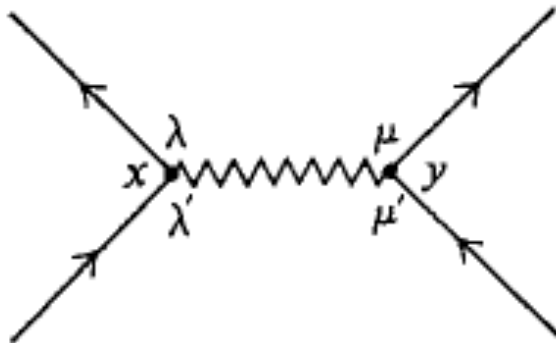
Teorema de Wick: O valor esperado no estado fundamental **não-interagente** de uma sequência de operadores de criação e destruição na versão de interação é dado pela **soma de todas as contrações possíveis de pares**, onde cada termo tem o sinal de **+1 (-1)** de acordo com o número de transposições necessárias de operadores fermiônicos para ir da ordem inicial até a ordem final ser **par (ímpar)**.

Cada contração de um operador de destruição com um operador de criação (nessa ordem) é igual à função de Green não-interagente.

Aula passada



$$\longrightarrow iG_{\alpha\beta}^{(0)}(x, y) = \langle T [\psi_{\alpha I}(x) \psi_{\beta I}^\dagger(y)] \rangle_0$$



$$\longrightarrow -iU(x, y) \delta_{\lambda, \lambda'} \delta_{\mu, \mu'}$$

Regras dos diagramas em ordem n

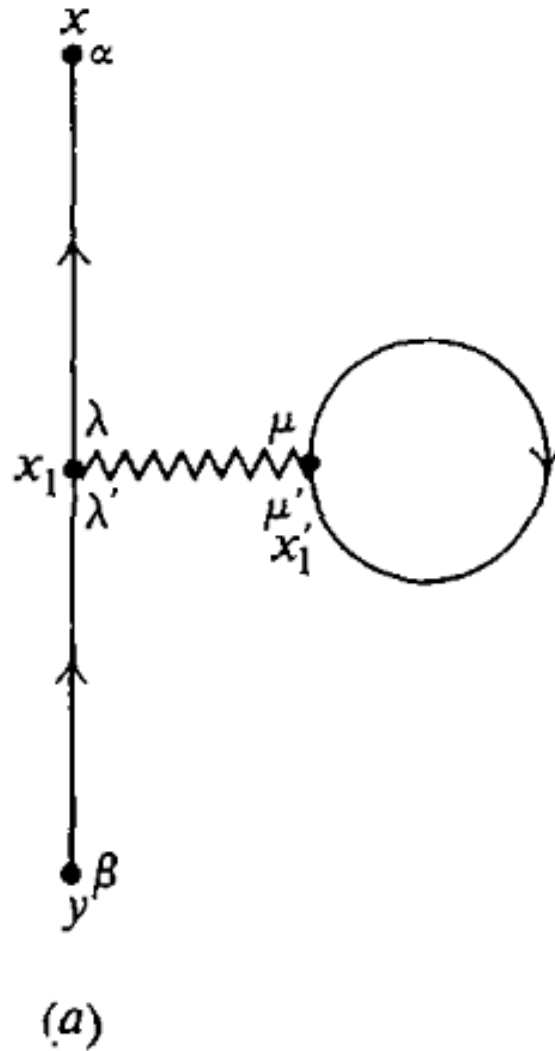
1. Desenhe todos os diagramas conectados topologicamente distintos, começando no ponto do espaço-tempo (mais spin) y e terminando em x , com $2n+1$ funções de Green (linhas contínuas orientadas) e n linhas de interação (“cobrinhas”).
2. Cada extremidade de uma “cobrinha” (vértice) é rotulado por um ponto no espaço-tempo (mais spin) (x_3, x_4, x_5, \dots) . A cada “cobrinha” com extremidades em (x_3, x_4) é associada a interação $-iU(x_3, x_4)$.
3. Cada linha contínua começa em y e termina em x . A ela é associada a função de Green $iG^{(0)}(x, y)$.

Regras dos diagramas em ordem n

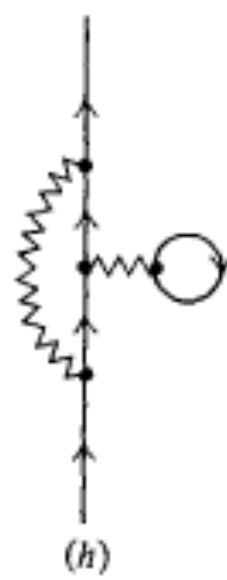
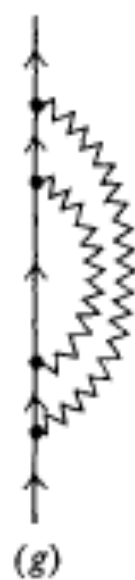
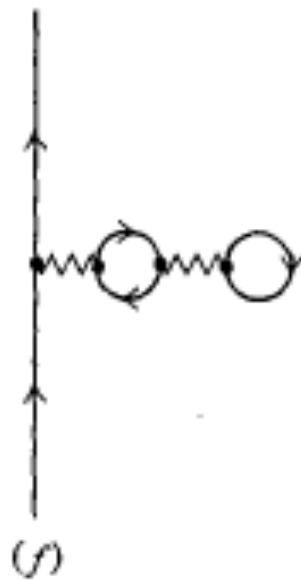
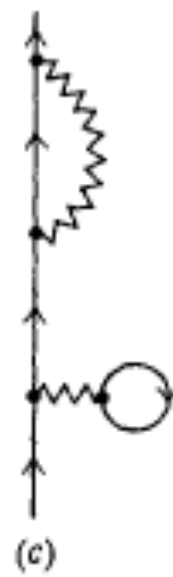
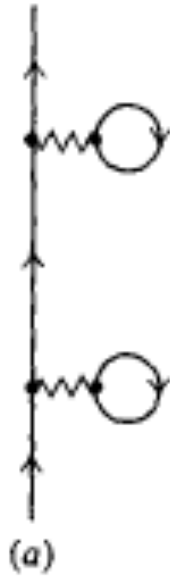
4. Integre/sove sobre todos os pontos internos (x_3, x_4, x_5, \dots) (incluindo spin).
5. Conserve spin em cada função de Green e em cada vértice (para interações que conservam o spin no vértice).
6. Multiplique o diagrama por $(-1)^L$, onde L é o número de “loops” fechados fermiônicos.
7. Caso haja funções de Green com tempos iguais, a regra a ser usada é

$$iG_{33}^{(0)} \equiv \lim_{t'_3 \rightarrow t_3^+} \langle T [\psi_{\alpha I}(\mathbf{r}_3, t_3) \psi_{\alpha I}^\dagger(\mathbf{r}_3, t'_3)] \rangle_0 = \frac{1}{2}n.$$

Diagramas em 1a. ordem



Diagramas em 2a. ordem



Aula passada

Para sistemas homogêneos:

$$k = (\mathbf{k}, \omega)$$

$$G(x) = \int \frac{d^4 k}{(2\pi)^4} e^{-ikx} G(k)$$

$$kx = \omega t - \mathbf{k} \cdot \mathbf{r}$$

$$G(k) = \int d^4 x e^{ikx} G(x)$$

$$U(x) = U(\mathbf{r}) \delta(t) = \int \frac{d^4 q}{(2\pi)^4} e^{-iqx} U(q)$$

$$U(q) = \int d^4 x e^{iqx} U(x) = \int d^3 r e^{-i\mathbf{q} \cdot \mathbf{r}} U(\mathbf{r}) = U(\mathbf{q})$$

Diagramas no espaço \mathbf{k}, ω

We can now state the Feynman rules for the n th-order contribution to $G_{\alpha\beta}(\mathbf{k}, \omega) \equiv G_{\alpha\beta}(k)$:

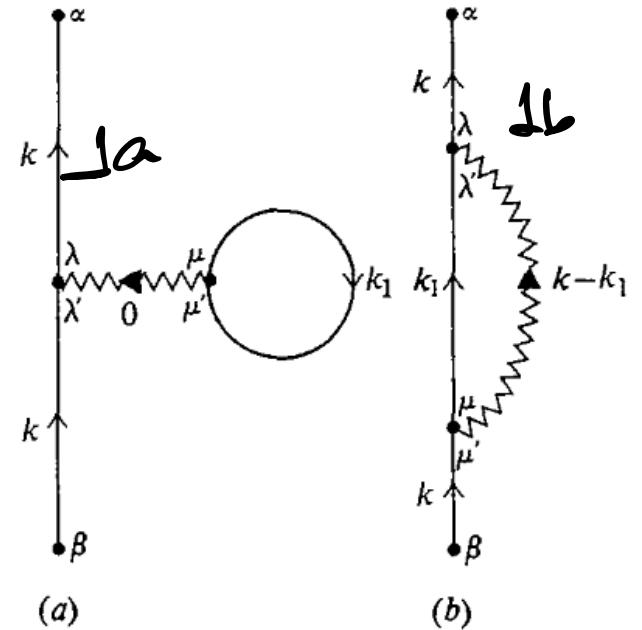
1. Draw all topologically distinct connected diagrams with n interaction lines and $2n + 1$ directed Green's functions.
2. Assign a direction to each interaction line; associate a directed four-momentum with each line and conserve four-momentum at each vertex.
3. Each Green's function corresponds to a factor

$$G_{\alpha\beta}^0(\mathbf{k}, \omega) = \delta_{\alpha\beta} G^0(\mathbf{k}, \omega) = \delta_{\alpha\beta} \left[\frac{\theta(|\mathbf{k}| - k_F)}{\omega - \omega_{\mathbf{k}} + i\eta} + \frac{\theta(k_F - |\mathbf{k}|)}{\omega - \omega_{\mathbf{k}} - i\eta} \right] \quad (9.14)$$

4. Each interaction corresponds to a factor $U(q)_{\lambda\lambda', \mu\mu'} = V(\mathbf{q})_{\lambda\lambda', \mu\mu'}$, where the matrix indices are associated with the fermion lines as in Fig. 9.11.
5. Perform a spin summation along each continuous particle line including the potential at each vertex.
6. Integrate over the n independent internal four-momenta.
7. Affix a factor $(i/\hbar)^n (2\pi)^{-4n} (-1)^F$ where F is the number of closed fermion loops.
8. Any single-particle line that forms a closed loop as in Fig. 9.11a or that is linked by the same interaction line as in Fig. 9.11b is interpreted as $e^{i\omega\eta} G_{\alpha\beta}(\mathbf{k}, \omega)$, where $\eta \rightarrow 0^+$ at the end of the calculation.

Aula passada

Diagramas de 1a. ordem



$$G^{(1a)}(\omega, \mathbf{k}) = -2i \left[G^{(0)}(\omega, \mathbf{k}) \right]^2 V(\mathbf{0}) \int \frac{d^4 k_1}{(2\pi)^4} e^{i\omega_1 \eta} G^{(0)}(\omega_1, \mathbf{k}_1)$$

$$G^{(1b)}(\omega, \mathbf{k}) = i \left[G^{(0)}(\omega, \mathbf{k}) \right]^2 \int \frac{d^4 k_1}{(2\pi)^4} e^{i\omega_1 \eta} V(\mathbf{k} - \mathbf{k}_1) G^{(0)}(\omega_1, \mathbf{k}_1)$$

$$G^{(1)}(\omega, \mathbf{k}) = i \left[G^{(0)}(\omega, \mathbf{k}) \right]^2 \int \frac{d^4 k_1}{(2\pi)^4} e^{i\omega_1 \eta} [V(\mathbf{k} - \mathbf{k}_1) - 2V(\mathbf{0})] G^{(0)}(\omega_1, \mathbf{k}_1)$$

Integrações sobre frequências

$$I = \int_{-\infty}^{+\infty} \frac{d\omega}{2\pi} e^{i\omega\eta} G(k, \omega) = \int_{-\infty}^{+\infty} \frac{d\omega}{2\pi} e^{i\omega\eta} \left[\frac{\theta(k_F - q)}{\omega - \epsilon_q - i\eta} + \frac{\theta(q - k_F)}{\omega - \epsilon_q + i\eta} \right]$$

$$I_{\pm} = \int_{-\infty}^{+\infty} \frac{d\omega}{2\pi} \frac{e^{i\omega\eta}}{\omega - \epsilon_q \pm i\eta}$$

LEMA DE JORDAN: $I = \int_{\Lambda} e^{i\omega\eta} f(\omega) d\omega$ ONDE $f(\omega) \rightarrow 0$ $|\omega| \rightarrow \infty$
 $\eta > 0$

Λ : CAMINHO É UM SEMI-CÍRCULO DE RAIO R NO SEMI-PLANO SUPERIOR, ONDE $R \rightarrow \infty$

$$I \rightarrow 0$$

NO SEMI-PLANO SUPERIOR: $\omega = R e^{i\theta}$ $\theta \in (0, \pi)$

$$\Rightarrow \exp[i\omega\eta] = \exp[iR\eta(\cos\theta + i\sin\theta)] =$$

$$= e^{iR\eta\cos\theta} e^{-\eta R\sin\theta} \sim e^{-\lambda R} \quad \lambda > 0 \quad (\text{ONDE } \eta\sin\theta > 0)$$

$$\int_{-\infty}^{\infty} e^{i\omega n} f(\omega) d\omega \sim \frac{R}{R} e^{-\lambda R} \xrightarrow{R \rightarrow \infty} 0$$

SEGUE QUE

$$I_{\pm}^{\prime} = \int_{-\infty}^{\pm\infty} d\omega = \int_{-\infty}^{\pm\infty} \frac{d\omega}{2\pi} \frac{e^{i\omega n}}{\omega - \epsilon_q \pm i\eta} \quad \square \text{ FAÇA POR RESÍDUOS}$$

O INTEGRANDO É UMA FUNÇÃO COM PÓLOS SIMPLES

EM: $\omega = \epsilon_q \mp i\eta$

$I_{+}^{\prime} = 0$ PORQUE O POLO ESTÁ NO SEMI-PLANO INFERIOR

$$I_{-}^{\prime} = 2\pi i \sum (\text{res.}) = \cancel{2\pi} i \left[\frac{1}{\cancel{2\pi}} e^{in(\epsilon_q + i\eta)} \right] \xrightarrow{\eta \rightarrow 0^+} i$$

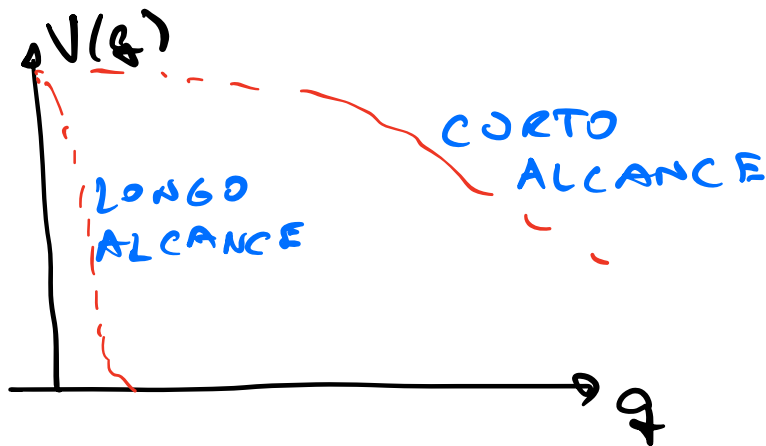
$$I = i \theta(k_F - q)$$

$$G^{(1)}(\vec{k}, \omega) = - \left[G^{(0)}(\vec{k}, \omega) \right]^2 \int \frac{d^3 q}{(2\pi)^3} \theta(k_F - q) \left[\underbrace{V(\vec{k} - \vec{q})}_{\text{TROCA}} - 2 \underbrace{V(0)}_{\text{DIRETO}} \right]$$

No 2º TERMO: $\int \frac{d^3 q}{(2\pi)^3} \theta(k_F - q) = \left(\frac{1}{2}\right) \frac{N}{V} = \frac{M}{2}$

$$G^{(A)}(\vec{k}, \omega) = [G^{(D)}(\vec{k}, \omega)]^2 \left[nV(0) - \int \frac{d^3 q}{(2\pi)^3} \theta(k_F - q) V(\vec{k} - \vec{q}) \right]$$

POTENCIAIS DE CURTO X LONGO ALCANCE:



CURTO ALCANCE: OS 2
TERMOS SÃO SIMILARES

DIRETO ~ TROCA

LONGO ALCANCE:

TROCA << DIRETO

POTENCIAL COULOMBIANO: ~ LONGO ALCANCE

⇒ EFEITOS DE TROCA SÃO MENORES
QUE OS DIRETO.

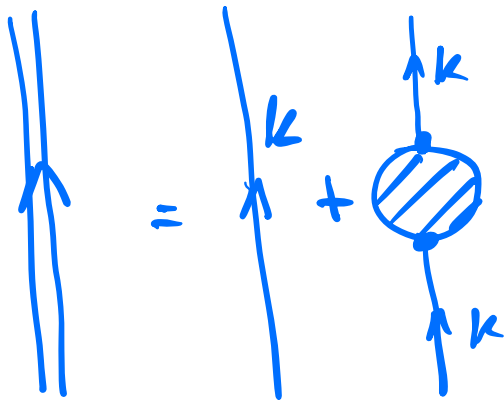
Auto-energia e equação de Dyson

$$G^{(1a)}(\omega, \mathbf{k}) = -2i \left[G^{(0)}(\omega, \mathbf{k}) \right]^2 V(\mathbf{0}) \int \frac{d^4 k_1}{(2\pi)^4} e^{i\omega_1 \eta} G^{(0)}(\omega_1, \mathbf{k}_1)$$

$$G^{(1b)}(\omega, \mathbf{k}) = i \left[G^{(0)}(\omega, \mathbf{k}) \right]^2 \int \frac{d^4 k_1}{(2\pi)^4} e^{i\omega_1 \eta} V(\mathbf{k} - \mathbf{k}_1) G^{(0)}(\omega_1, \mathbf{k}_1)$$

DA ESTRUTURA ACIMA E ANALISANDO TERMOS GENÉRICOS EM ORDEM $n \geq 1$, FICA CLARO QUE O FATOR $[G^{(0)}(\omega, \vec{k})]^2$ ESTA PRESENTE SEMPRE:

$$\text{[Diagrama de um círculo hachurado]} \equiv -i \tilde{\Sigma}(\vec{k}, \omega)$$



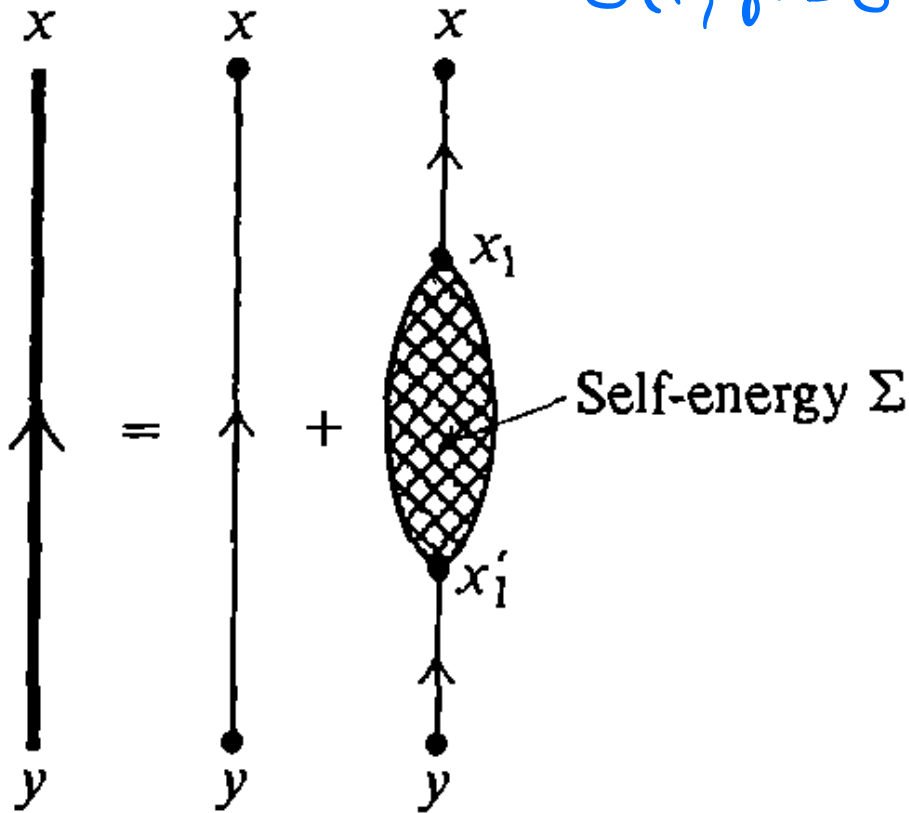
$$i G(\vec{k}, \omega) = i G^{(0)}(\vec{k}, \omega) + [i G^{(0)}(\vec{k}, \omega)]^2 (-i) \tilde{\Sigma}(\vec{k}, \omega)$$

$$G(\vec{k}, \omega) = G^{(0)}(\vec{k}, \omega) + [G^{(0)}(\vec{k}, \omega)]^2 \tilde{\Sigma}(\vec{k}, \omega)$$

$\tilde{\Sigma}(\vec{k}, \omega) = \text{AUTO-ENERGIA IMPRÓPRIA}$

Auto-energia no espaço real

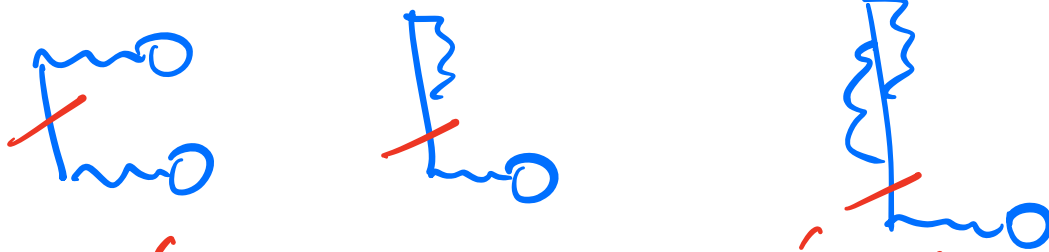
$$G(x, y) = G^{(0)}(x, y) + \int dx_1 dx_1' G^{(0)}(x, x_1) \tilde{\Sigma}(x_1, x_1') G^{(0)}(x_1', y)$$



$$\chi^{(1)}(\vec{k}, \omega) = \left[nV(0) - \int \frac{d^3q}{(2\pi)^3} \theta(\vec{k}_F - \vec{q}) V(\vec{k} - \vec{q}) \right]$$

OLHANDO PARA TODOS OS DIAGRAMA DE Σ^2 , VEMOS QUE ELLES
 PODEM SER CLASSIFICADOS COMO:

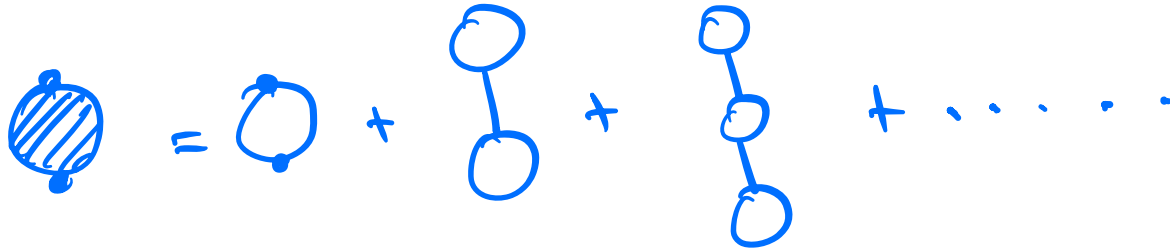
1) REDUTÍVEIS DE UMA PARTÍCULA: SE DESMEMBRAM EM
 DUAS PARTES DESCONECTADAS SE "CORTAMOS" UMA
 FUNÇÃO DE GREEN $G^{(0)}(\vec{k}, \omega)$:



2) IRREDUTÍVEIS DE UMA PARTÍCULA: TODOS OS OUTROS



Auto-energia própria



\hat{Q} = CONTÉM TODOS OS DIAGRAMAS IRREDUTÍVEIS DE
 UMA PARTÍCULA = $-i \Sigma(\vec{k}, \omega)$

$\Sigma(\vec{k}, \omega)$ = AUTO-ENERGIA PRÓPRIA

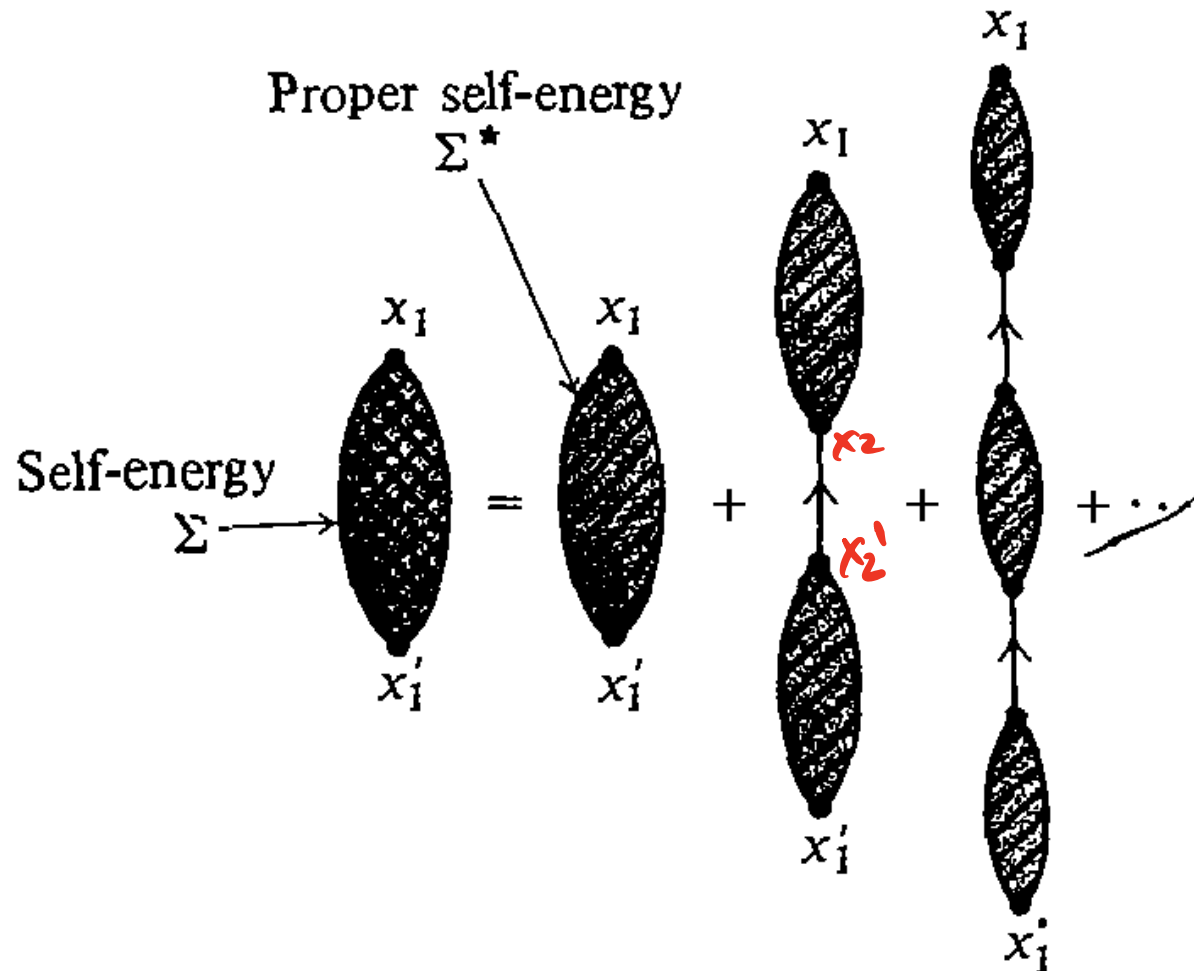
$$\cancel{i} \tilde{\Sigma}(\vec{k}, \omega) = \cancel{i} \Sigma(\vec{k}, \omega) + [\cancel{i} \Sigma(\vec{k}, \omega)]^2 [i G^{(0)}(\vec{k}, \omega)] +$$

$$+ [-i \Sigma(\vec{k}, \omega)]^3 [i G^{(0)}(\vec{k}, \omega)]^2 + \dots$$

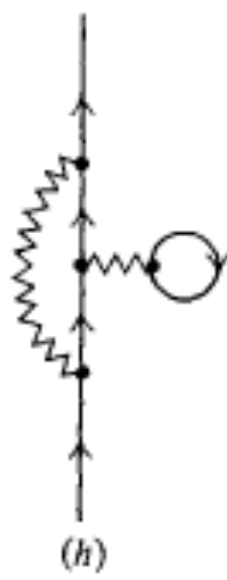
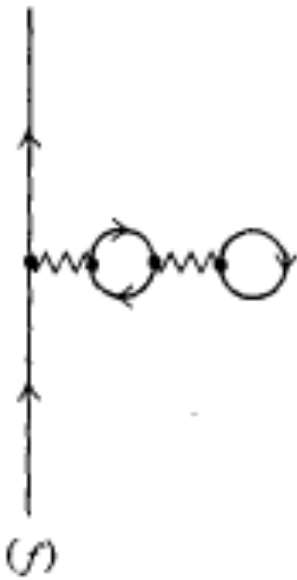
$$\tilde{\Sigma}(\vec{k}, \omega) = \Sigma(\vec{k}, \omega) + [\Sigma(\vec{k}, \omega)]^2 G^{(0)}(\vec{k}, \omega) + [\tilde{\Sigma}(\vec{k}, \omega)]^3 [G^{(0)}(\vec{k}, \omega)]^2$$

$$\tilde{\Sigma} = \Sigma \left\{ 1 + \Sigma G^{(0)} + [\Sigma G^{(0)}]^2 + [\Sigma G^{(0)}]^3 + \dots \right\} = \boxed{\frac{\Sigma}{1 - \Sigma G^{(0)}} = \tilde{\Sigma}}$$

Relação entre a auto-energia e a auto-energia própria no espaço real



DOS DIAGRAMAS DE AUTO-ENERGIA ABAIXO, TODOS CONTRIBUEM PARA $\Sigma^{(2)}$, MAS APENAS $\in \{1, \dots, j\}$, CONTRIBUEM PARA $\Sigma^{(2)}$



IGNORANDO POR UM INSTANTE A DEPENDÊNCIA
COM (\vec{k}, ω) :

$$G = G^{(0)} + [G^{(0)}]^2 \Sigma = G^{(0)} + [G^{(0)}]^2 \left[\frac{\Sigma}{1 - G^{(0)} \Sigma} \right]$$

$$= G^{(0)} \left\{ 1 + \frac{G^{(0)} \Sigma}{1 - G^{(0)} \Sigma} \right\} = G^{(0)} \left[\frac{1}{1 - G^{(0)} \Sigma} \right] = G$$

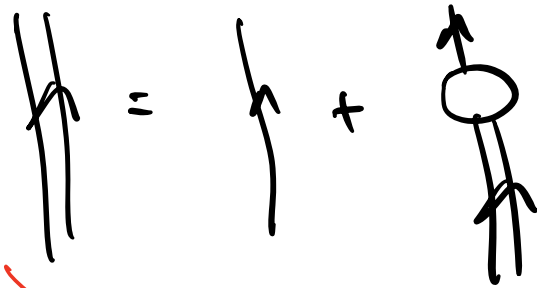
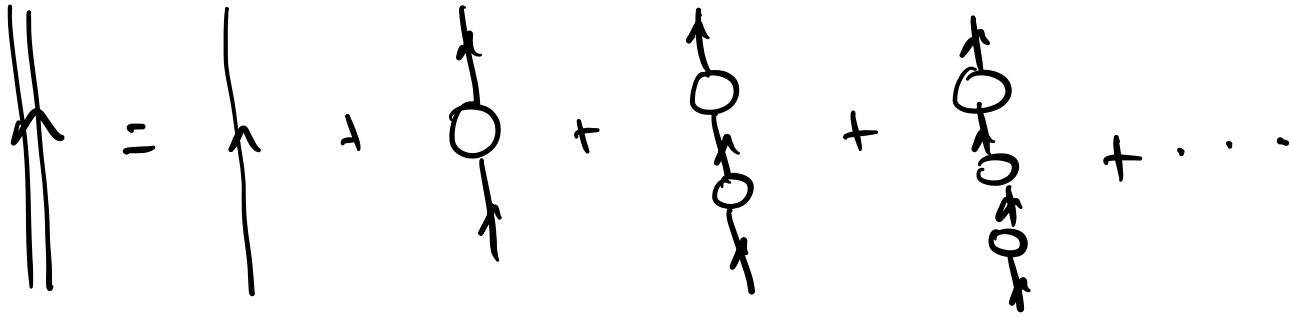
$$G(\vec{k}, \omega) = \frac{1}{[G^{(0)}(\vec{k}, \omega)]^{-1} - \Sigma(\vec{k}, \omega)}$$

$$G^{(0)}(\vec{k}, \omega) = \frac{1}{\omega - \epsilon_{\vec{k}} + i \underbrace{\text{sgn}(\vec{k} - \vec{k}_F)}_{S_{\vec{k}}} \eta}$$

$$G(\vec{k}, \omega) = \frac{1}{\omega - \epsilon_{\vec{k}} + i S_{\vec{k}} \eta - \Sigma(\vec{k}, \omega)}$$

USUALMENTE $\text{Im}[\Sigma(\vec{k}, \omega)] \neq 0$ E PODEMOS GERALMENTE
DEIXAR DE ESCREVER $i \eta S_{\vec{k}}$:

$$G(\vec{k}, \omega) = \frac{1}{\omega - \epsilon_{\vec{k}} - \Sigma(\vec{k}, \omega)}$$



EQ. DE DYSON

$$\Rightarrow iG = iG^{(0)} + iG^{(0)}[-i\Sigma]iG$$

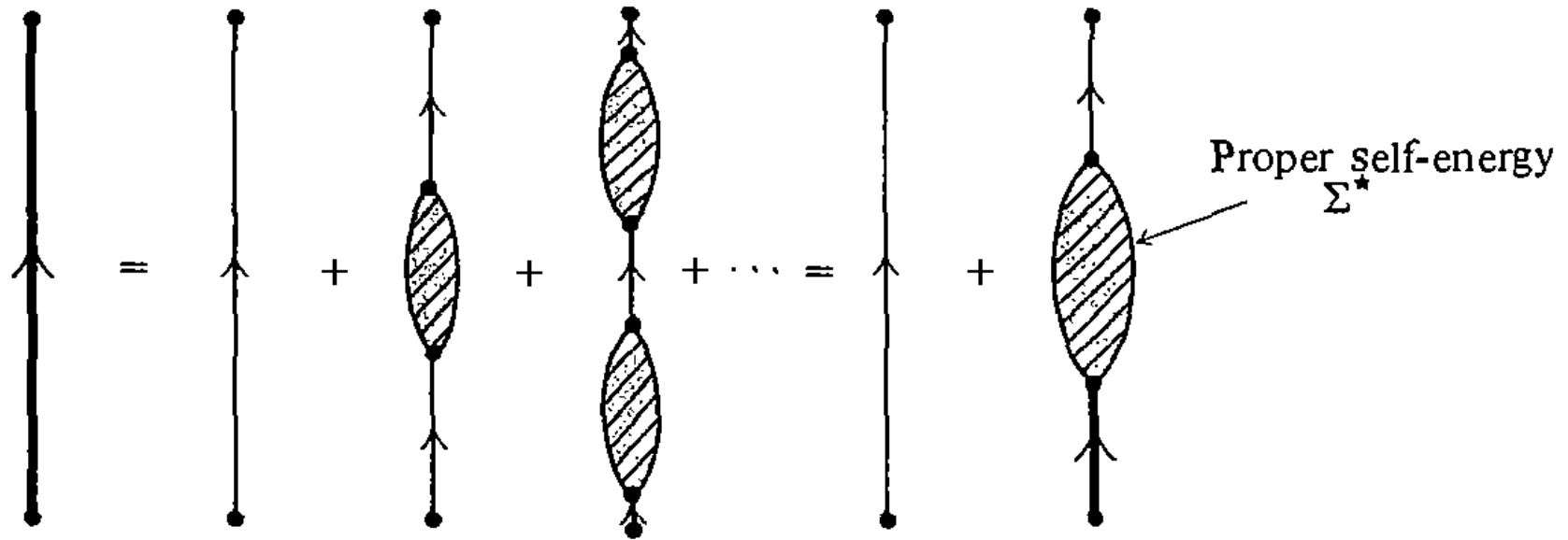
$$G = G^{(0)} + G^{(0)}\Sigma G$$

$$G - G^{(0)}\Sigma G = G^{(0)}$$

$$[1 - G^{(0)}\Sigma]G = G^{(0)}$$

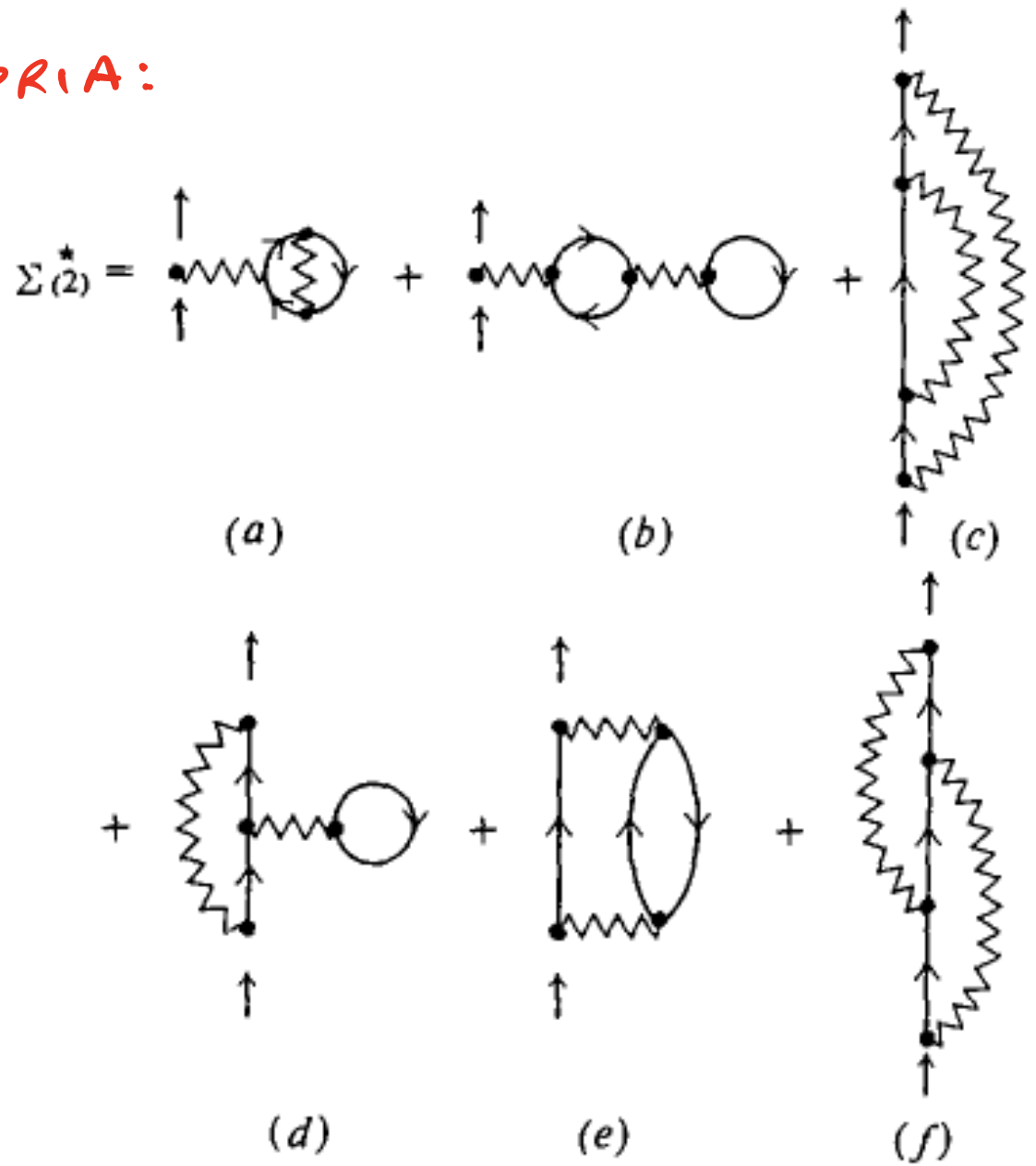
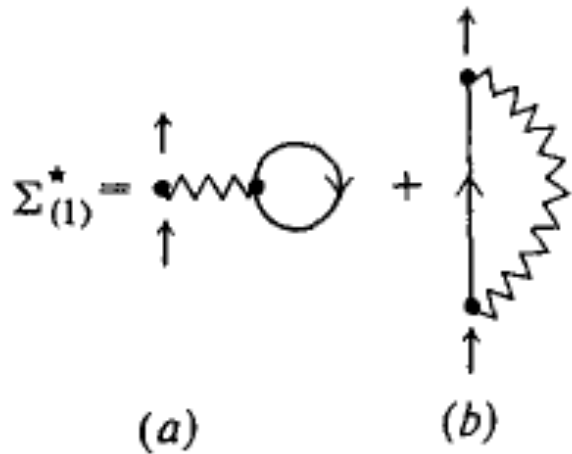
$$G = \frac{G^{(0)}}{1 - G^{(0)}\Sigma} = \frac{1}{[G^{(0)}]^{-1} - \Sigma}$$

Equação de Dyson

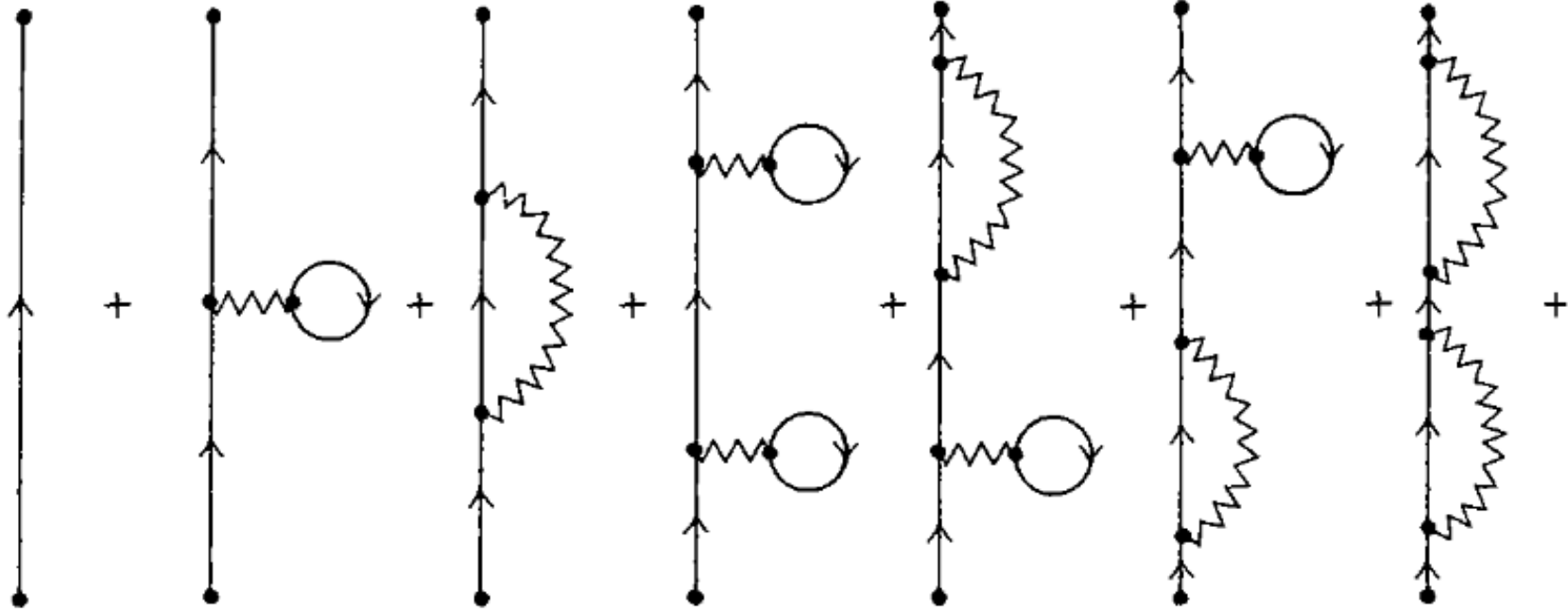


AUTO-ENERGIA PRÓPRIA:

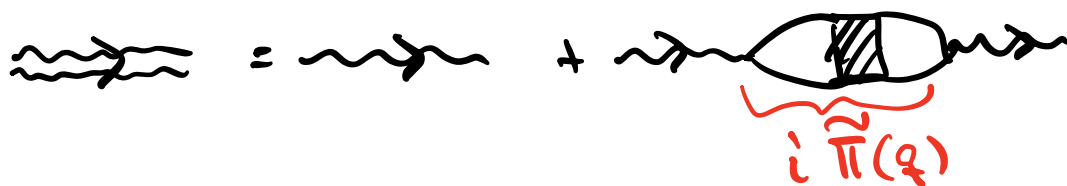
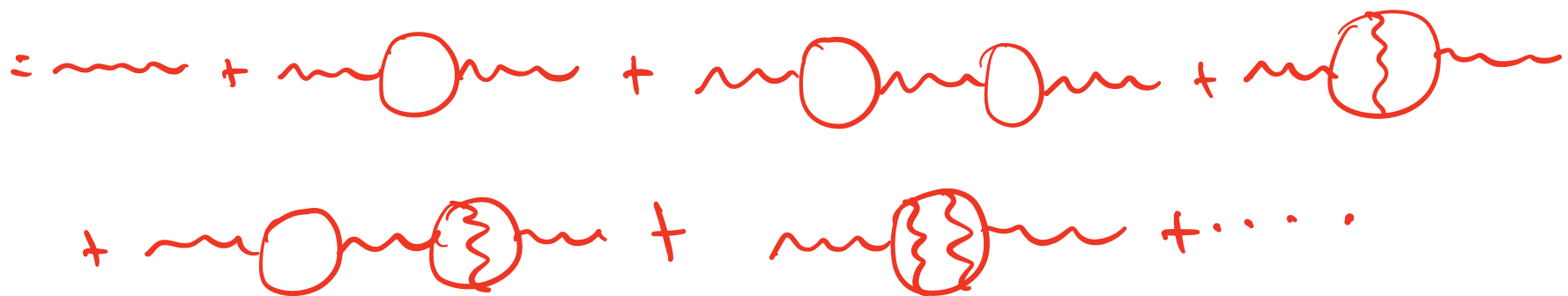
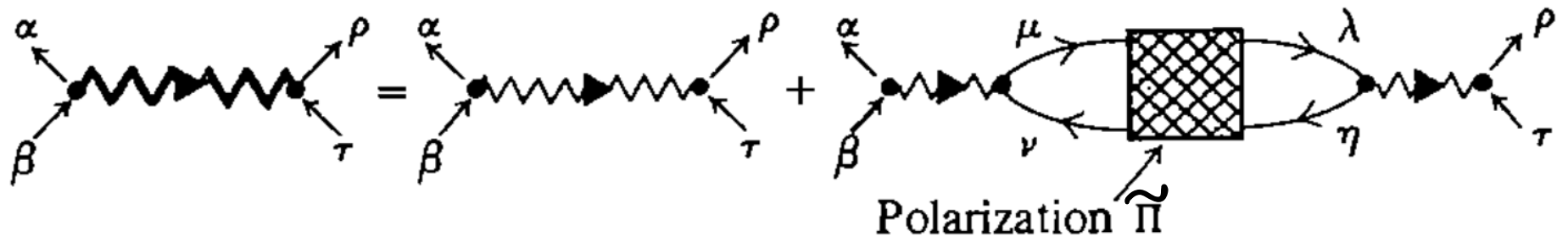
$$(\Sigma^* = \Sigma)$$



12



Inserção de polarização



$\tilde{\Pi}(q) = \text{INSERÇÃO DE POLARIZAÇÃO IMPRÓPRIA}$

$$-iU^R(q) = -iU(q) + [-iU(q)]^2 [i\tilde{\Pi}(q)]$$

$$U^R(q) = U(q) + [U(q)]^2 \tilde{\Pi}(q)$$

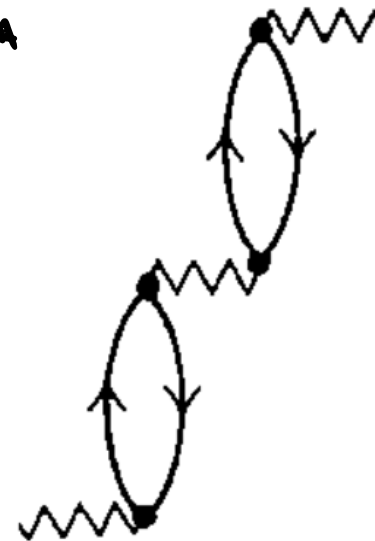
Polarização própria e imprópria

INSERÇÃO DE POLARIZAÇÃO PRÓPRIA
NÃO SE DESCONECTAM EM DOIS
CORTANDO UMA COBRINHA.

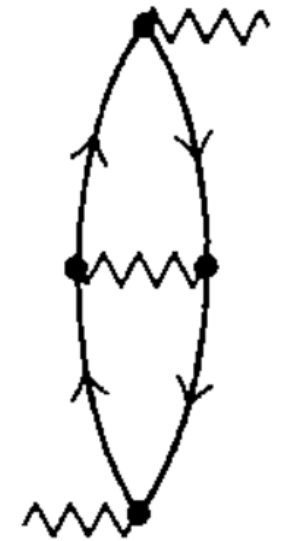
$\Pi(q) = \text{INS. DE POL. PRÓPRIA}$



$$= i\Pi(q)$$



Improper



Proper

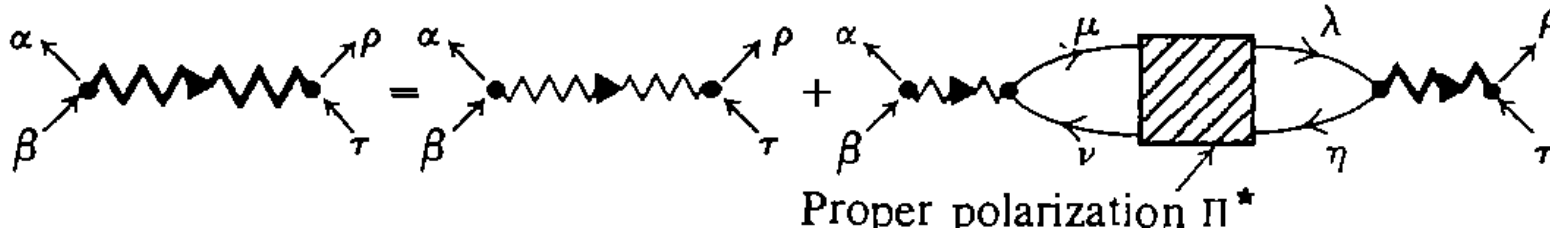


$$-iU^R = -iU + [-iU]^2(i\Pi) + (-iU)^3(i\Pi)^2 + \dots$$

$$U^R = U + U^2\Pi + U^3\Pi^2 + \dots = U [1 + U\Pi + (U\Pi)^2 + \dots]$$

$$U^R = \frac{U}{1 - U\Pi}$$

Equação de Dyson para a polarização



$$U^R(q) = \frac{U(q)}{1 - \Pi(q)U(q)} \equiv \frac{U(q)}{\epsilon(q)}$$

$$\epsilon(q) = 1 - \Pi(q)U(q) = \text{CONSTANTE DIELETRICA DO MEIO}$$

CORREÇÕES DE VÉRTICE:

